

文章编号: 1000-5013(2007)02-0170-04

锰的吡啶-2-磺酸配合物的合成和晶体结构

肖子敬

(华侨大学 材料科学与工程学院, 福建泉州 362021)

摘要: 合成锰的吡啶-2-磺酸配合物 $Mn(C_5H_4NSO_3)_2 \cdot (H_2O)_2$ 。研究结果表明, 化合物属单斜晶系, 空间群为 $C2/c$, 其晶胞参数: $a = 1.37175(7)$ nm, $b = 0.72044(4)$ nm, $c = 1.61141(9)$ nm, $\beta = 106.855(1)$ °, $V = 1.5241(1)$ nm³, $Z = 4$, $D_c = 1.775$ g·cm⁻³, $\mu = 1.183$ mm⁻¹, $F(000) = 828$, $R = 0.0227$, $wR = 0.0603$ 。共收集到 1740 个独立衍射点, 其中 $I \geq 2\sigma(I)$ 的可观测点为 1627 个。在标题化合物中, Mn^{2+} 离子由 2 个吡啶-2-磺酸中的 2 个氮, 2 个氧, 以及 2 个水分子中的 2 个氧配位形成畸变的 N_2O_4 八面体配位构型。配合物分子具有晶体学 2 次旋转轴对称性, 分子之间通过许多 O-H(配位水分子)…O(未配位磺酸根)氢键联结成二维结构网络。

关键词: $Mn(II)$ 配合物; 吡啶-2-磺酸; 晶体结构; 氢键

中图分类号: O 641.4; O 626.32; O 627.7; O 743+.53

文献标识码: A

简单小分子配体和金属离子的配合物通过氢键, 可以构筑具有高级有序结构的分子聚集体。这些分子聚集体在制备具有磁性、生物活性、光学性质和催化性能等新材料方面, 有着潜在的应用前景^[1-6]。锰是人体内一种必需的微量元素, 它是多种酶的活化剂和辅剂, 也可作为蛋白质合成的辅酶, 以及磁共振显影造影剂的有效成分。因此, 锰的模型配合物的研究愈来愈引起人们的广泛兴趣^[7-8]。吡啶-2-磺酸及其衍生物可用来研究配体对 Goagg^{II} 氧化和铬酸氧化的影响, 而且其配合物还可能具有发光性质^[9]。近年来, 已有吡啶-2-磺酸及其衍生物的过渡金属配合物的晶体结构^[9-12] 的报道。然而, 迄今为止, 过渡金属为锰离子的, 只有 Lobana 等^[10] 于 2004 年报道的 3-甲基吡啶磺酸(3-mpSO₃H)与锰(II)形成的配合物 [Mn(3-mpSO₃)₂ · (H₂O)₂]。本文报道具有 2D 氢键网络超分子结构的锰配合物 [Mn(C₅H₄NSO₃)₂ · (H₂O)₂] 的合成和晶体结构。

1 实验部分

1.1 主要试剂与仪器

甲醇、乙醇、丙二醇、冰醋酸、过氧乙酸、氢溴酸、溴水、亚硝酸钠、乙醚、硫化钠和高氯酸均为分析纯; 磷酸、碳酸锰、2-氨基吡啶、氢氧化钾和氢氧化钠等均为化学纯。元素分析在美国 Perkin Elmer 公司的 2400 型元素分析仪上进行。

1.2 配体和配合物的合成

(1) 配体吡啶-2-磺酸的合成。先由 2-氨基吡啶合成 2-溴吡啶^[13], 再由 2-溴吡啶合成 2-巯基吡啶^[14], 最后, 2-巯基吡啶经过氧乙酸氧化制得产物^[12]。(2) 高氯酸锰的制备。将碳酸锰溶于略高于计算量的高氯酸中^[15], 然后进行过滤。把所得的滤液水浴加热, 小心减压浓缩, 即可得六水合物的高氯酸锰结晶。(3) 配合物的合成。将 75.6 mg 的 $Mn(ClO_4)_2 \cdot 6H_2O$ 和 31.8 mg 的吡啶-2-磺酸一起溶于 20 mL 甲醇中。搅拌约 1 h 后, 加入 5 mL 二氯甲烷。室温下继续搅拌约 5.5 h, 得无色溶液, 过滤。滤液室温下放置约 60 d, 得到无色柱状标题化合物晶体, 产率为 43%。经元素分析得知, 标题化合物的 C, H, N 的质量分数分别为 29.56%, 2.89% 和 6.82%; 若以 $C_{10}H_{12}MnN_2O_8S_2$ 计, 则其 C, H, N 的质量分数分

收稿日期: 2006-09-12

作者简介: 肖子敬(1962-), 男, 副研究员, 主要从事配合物结构化学的研究。E-mail: xzj@hqu.edu.cn

基金项目: 福建省自然科学基金资助项目(E0110010, E0640006)

© 1994-2010 China Academic Journal Electronic Publishing House. All rights reserved. http://www.cnki.net

别为 29.49%, 2.97% 和 6.88%.

1.3 晶体结构测定

选取大小为 0.75 mm × 0.50 mm × 0.31 mm 的标题化合物晶体, 在带有石墨单色器的 Rigaku 18KWR-AXIS RAPID Weissenberg IP 衍射仪上进行衍射实验。用 Mo K α 射线 ($\lambda = 0.71073 \text{ nm}$) 和 ω 扫描方式, 在 $5.28^\circ \leq 2\theta \leq 54.96^\circ$ 的范围内, 收集到化合物的 1740 个独立衍射点 ($R_{\text{int}} = 0.0212$), 其中 1627 个 $I \geq 2\sigma(I)$ 的可观测点用于结构修正。衍射数据用 TEXSAN 程序进行还原处理, 衍射强度经 L_p 因子和 Ψ 吸收校正; 晶体结构分析工作在 Pentium III PC 计算机上用 SHELXL97 程序进行, 晶体结构由直接法和差值 Fourier 合成法解出。对所有非氢原子的坐标和各向异性温度因子进行最小二乘修正, 所有氢原子的位置由理论计算或差值 Fourier 分析得到。标题化合物的最终偏差因子 $R = 0.0227$, $wR = 0.0603$, $W = [\sigma^2(Fo^2) + (0.0293P)^2 + 1.33P]^{-1}$, $P = [(Fo^2 + 2F_c^2)/3]$, $S = 1.051$, $(\Delta\sigma)_{\text{max}} = 0.000$; 差值 Fourier 图上的最大残余峰为 $286(-280) \text{ e} \cdot \text{nm}^{-3}$.

2 结果与讨论

标题化合物的非氢原子坐标和热参数, 如表 1 所示。表中, $U_{\text{eq}} = (1/3) \sum_i \sum_j U_{ij} a_i^* a_j^* a_i a_j$ 。主要键长 (l) 和键角 (φ), 如表 2 所示。表中, 对称操作平移码为 $A, -x, y, -z + 1/2$ 。氢键表如表 3 所示, 表中对

表 1 标题化合物的原子坐标及热参数

Tab. 1 Atomic coordinates and U_{eq} for the title compound

原子	$x \times 10^4$	$y \times 10^4$	$z \times 10^4$	$U_{\text{eq}}/\text{nm}^2$	原子	$x \times 10^4$	$y \times 10^4$	$z \times 10^4$	$U_{\text{eq}}/\text{nm}^2$
Mn(1)	0	2 111(1)	2 500	26(1)	S(1)	1 678(1)	-898(1)	3 419(1)	28(1)
N(1)	595(1)	1 635(2)	3 955(1)	28(1)	C(1)	1 367(1)	450(2)	4 235(1)	25(1)
O(1)	1 215(1)	79(2)	2 610(1)	42(1)	C(2)	1 876(1)	158(2)	5 101(1)	36(1)
O(2)	1 226(1)	-2 690(2)	3 463(1)	49(1)	C(3)	1 539(1)	1 109(3)	5 709(1)	43(1)
O(3)	2 775(1)	-955(2)	3 646(1)	49(1)	C(4)	722(1)	2 290(2)	5 438(1)	40(1)
O(4)	990(1)	4 314(2)	2 383(1)	48(1)	C(5)	277(1)	2 536(2)	4 561(1)	37(1)

表 2 标题化合物的主要键长和键角

Tab. 2 Selected bond lengths and bond angles for the title compound

键	l/nm	键	l/nm	键	l/nm
Mn(1)-O(4)	0.2132(1)	Mn(1)-N(1)	0.2274(1)	Mn(1)-O(1)	0.2187(1)
C(1)-N(1)	0.1333(2)	C(1)-C(2)	0.1383(2)	C(1)-S(1)	0.1783(1)
C(2)-C(3)	0.1381(2)	C(3)-C(4)	0.1374(3)	C(4)-C(5)	0.1379(2)
C(5)-N(1)	0.1346(2)	S(1)-O(2)	0.1443(1)	S(1)-O(3)	0.1443(1)
S(1)-O(1)	0.1455(1)				

键角	$\varphi/^\circ$	键角	$\varphi/^\circ$	键角	$\varphi/^\circ$
O(4)-Mn(1)-O(4A)	83.78(7)	C(5)-N(1)-Mn(1)	125.50(1)	C(2)-C(1)-S(1)	120.10(1)
O(4)-Mn(1)-N(1)	98.98(5)	O(2)-S(1)-O(1)	113.25(8)	C(4)-C(3)-C(2)	119.50(2)
O(4)-Mn(1)-O(1A)	168.86(5)	O(2)-S(1)-C(1)	104.67(7)	N(1)-C(5)-C(4)	122.80(2)
O(4)-Mn(1)-O(1)	90.90(5)	O(1)-S(1)-C(1)	105.17(6)	C(1)-N(1)-Mn(1)	117.23(9)
O(1A)-Mn(1)-O(1)	95.93(7)	O(4)-Mn(1)-N(1A)	93.93(5)	O(2)-S(1)-O(3)	113.18(9)
N(1)-C(1)-S(1)	115.80(1)	N(1A)-Mn(1)-N(1)	162.64(6)	O(3)-S(1)-O(1)	113.12(8)
C(1)-C(2)-C(3)	117.70(2)	N(1)-Mn(1)-O(1A)	91.13(4)	O(3)-S(1)-C(1)	106.47(7)
C(3)-C(4)-C(5)	118.90(2)	N(1)-Mn(1)-O(1)	77.19(4)	S(1)-O(1)-Mn(1)	121.37(6)
C(1)-N(1)-C(5)	117.10(1)	N(1)-C(1)-C(2)	123.90(1)		

表 3 标题化合物的氢键表

Tab. 3 Hydrogen bond geometry for the title compound

D-H...A	l_{D-H}/nm	l_{H-A}/nm	l_{D-A}/nm	$\varphi_{D-H-A}/^\circ$
O4-H(4B)...O(2a)	0.0886	0.1862	0.2732(2)	166.9
O4-H(4C)...O(3b)	0.0923	0.1790	0.2701(2)	168.5

称操作平移码 (a) 为 $x, y+1, z$; (b) 为 $-x+1/2, y+1/2, -z+1/2$ 。 © 1994-2010 China Academic Journal Electronic Publishing House. All rights reserved. http://www.cnki.net

标题化合物($Mn(C_5H_4NSO_3)_2 \cdot (H_2O)_2$)的分子构型,如图1所示。 $Mn(1)$ 原子位于 $2[010]$ 上,即 $0, y, 1/4$ 。整个配合物分子具有 C_2 对称性。2个吡啶-2-磺酸各提供1个氮($N(1), N(1A)$)和1个氧($O(1), O(1A)$)与 $Mn(II)$ 形成2个五元螯环,2个水分子的 $O(O(4), O(4A))$ 也与 $Mn(II)$ 形成配位键。因此,在标题化合物中,6个配位原子与中心离子 $Mn(II)$ 形成了畸变的 N_2O_4 八面体配位构型。 $Mn(1)$ 与吡啶-2-磺酸中的 $N(1), C(1), S(1), O(1)$ 所形成的五元螯合环基本共面,其最小二乘平面的平均偏差为0.00798 nm。从表2可知,在标题化合物中, $Mn-N$ (吡啶)键键长为0.2274(1) nm,这与配合物[$Mn_2(BPBPM P)OAc_2$]BF₄^[16]中对应键的键长(0.2274(2)~0.2289(2) nm)相吻合,但比配合物[$Mn(3-mpSO_3)_2 \cdot (H_2O)_2$]^[10]中对应键的键长(0.2242(2) nm)长。 $Mn-O(1)$ (磺酸基的氧)键键长为0.2187(1) nm,与配合物[$Mn(3-mpSO_3)_2 \cdot (H_2O)_2$]^[10]中 $Mn-O$ (磺酸基的氧)键键长(0.2187(2) nm)相一致。 $Mn-O(4)$ (水分子氧)键的键长为0.2132(1) nm,比配合物[$Mn(3-mpSO_3)_2 \cdot (H_2O)_2$]^[10]中相对应键的键长(0.2164(2) nm)短,而与配合物[$Mn(chedam)(bipy)$]·H₂O^[17]中对应键的键长(0.2135(1) nm)相一致。

标题化合物的密堆积图,如图2所示。由表3和图2可知,在标题化合物中存在分子间氢键,这些分

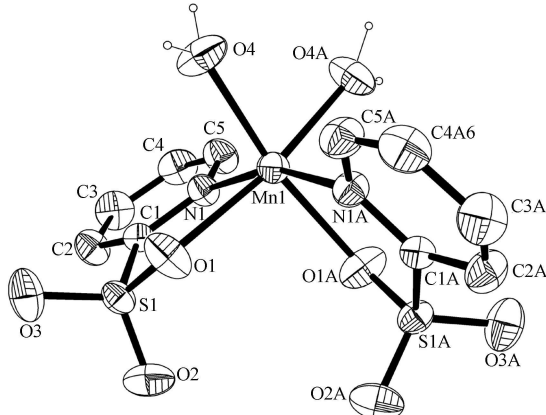


图1 标题化合物的分子结构图

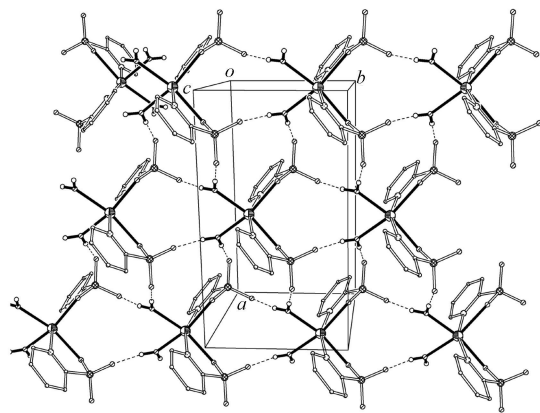


图2 标题化合物的密堆积图

Fig. 1 Molecular structure of the title compound

Fig. 2 Packing diagram of the title compound viewed

子间氢键将邻近的配合物分子连结成平行(001)平面的二维氢键网络。说明,每个 $Mn(C_5H_4NSO_3)_2 \cdot (H_2O)_2$ 分子中的一个配位水分子的 $O(4)-H(4B)$ 与一个邻近配合物分子的 $O(2a)$ (磺酸根)形成氢键,同时 $O(4)-H(4C)$ 又与另一个邻近配合物分子的 $O(3b)$ (磺酸根)形成氢键。这样每个 $Mn(C_5H_4NSO_3)_2 \cdot (H_2O)_2$ 分子中都存在 $O-H$ (配位水分子).. O (未配位磺酸根)氢键。同样地,每个标题配合物分子的另一个配位水分子的 $O(4A)$ 也存在 $O-H$ (配位水分子).. O (未配位磺酸根)氢键。由于上述氢键的存在,标题配合物分子之间连结成平行于(001)平面的二维氢键网络。

3 结束语

本文成功地研究出了合成锰配合物[$Mn(C_5H_4NSO_3)_2 \cdot (H_2O)_2$]的方法。经晶体结构测定表明,该锰配合物具有2D氢键网络超分子结构,是一种具有高级有序结构的分子聚集体。配合物的成功合成对于制备具有磁性、生物活性、光学性质和催化性能等新材料方面,具有一定的科学意义。

参考文献:

- [1] SANJIB D, PARIMAL K B. Self assembly of a luminescent zinc(II) complex: a supramolecular host guest fluorescence signaling system for selective nitrobenzene inclusion[J]. Inorg Chem, 2006, 45(14): 2575-259.
- [2] 郭亚梅, 杜森, 李建荣, 等. 新型有序结构分子聚集体的构筑[J]. 无机化学学报, 2002, 18(1): 27-30.
- [3] SUN Changyan, JIN Lirpei. Supramolecular architecture constructed by *p*-carboxy cinnamic acid and α -block metal ions[J]. Polyhedron, 2006, 25(6): 1327-1332.
- [4] SIJBESMA R P, MEIJER E W. Quadruple hydrogen bonded systems[J]. Chem Commun, 2003, (1): 5-16.
- [5] ZAMAN M B, SMITH M D, CIURTIN D M, et al. New Cd(II)-, Co(II)-, and Cu(II)-containing coordination

- polymers synthesized by using the rigid ligand 1,2-Bis(3-pyridyl) ethyne ($3,3'$ -DPA) [J]. Inorg Chem, 2002, 41(19): 4895-4903.
- [6] YANG Weir bin, LU Caizhang, LIN Xiang, et al. An interesting network of an asymmetric binuclear molybdenum complex formed via O-H...O and C-H...O_{Co} hydrogen bonds and stacking interactions [J]. Inorg Chem Commun, 2001, 4(6): 285-289.
- [7] THUNUS L, LEJEUNE R. Overview of transition metal and lanthanide complexes as diagnostic tools [J]. Coord Chem Rev, 1999, 184(1): 125-155.
- [8] LAUFLER R B. Paramagnetic metal complexes as water proton relaxation agents for NMR imaging: theory and design [J]. Chem Rev, 1987, 87(5): 901-927.
- [9] KIMURA K, KIMURA T, KINOSHITA I, et al. Aerobic oxidation of a disulfide to its sulfonate leading to supramolecular pyridine-2-sulfonato Cu(II) and Zn(II) complexes [J]. Chem Commun, 1999, (6): 497-498.
- [10] LOBANA T S, KINOSHITA I, KIMURA K, et al. Pyridine-2-sulfonates as versatile ligands for the synthesis of novel coordinative and hydrogen bonded supramolecules [J]. Eur J Inorg Chem, 2004(1), 356-367.
- [11] MURATA M, KOJIMA M, HIOKI A, et al. A complete series of stepwise oxidation of [Co(2-pyridinethiolato)(en)₂]²⁺: characterization of the 2-pyridinesulfenato N, O complexes [J]. Coord Chem Rev, 1998, 174: 109-131.
- [12] 肖子敬, 刘世雄. 2D 氢键网络镉配合物 Cd(pyridine-2-sulfonato)₂(H₂O)₂ 和锌配合物 Cd(pyridine-2-sulfonato)₂(H₂O)₂ 的合成和晶体结构 [J]. 结构化学, 2004, 23(7): 798-802.
- [13] 霍宁 E C. 有机合成 [III] [J]. 南京大学有机化学教研室, 译. 北京: 科学出版社, 1981: 83-84.
- [14] 张帆, 樊祺泉, 安镜如. 新有机试剂的合成 [M]. 北京: 海洋出版社, 1984: 328-329.
- [15] 日本化学会. 无机化合物合成手册 [J]. 2th ed. 安家驹, 等译. 北京: 化学工业出版社, 1986: 450-451.
- [16] KARSTEN P, NEVES A, BORTOLUZZI A J, et al. Synthesis, structure and catalase-like activity of a new dinuclear mixed valence Mn^{II}Mn^{III} complex containing an unsymmetric N₅O₂ donor ligand [J]. Inorg Chem Commun, 2002, 5(6): 434-438.
- [17] DEVEREUX M, MCCANN M, LEON V, et al. Synthesis and catalytic activity of manganese(II) complexes of heterocyclic carboxylic acids: X-ray crystal structures of [Mn(pyr)₂]_n•[Mn(dipic)(bipy)₂]•4.5H₂O and [Mn(chedam)(bipy)]•H₂O (pyr = 2-pyrazinecarboxylic acid; dipic = pyridine-2,6-dicarboxylic acid; chedam = chelidamic acid (4-hydroxypyridine-2,6-dicarboxylic acid); bipy = 2,2-bipyridine) [J]. Polyhedron, 2002, 21(11): 1063-1071.

Synthesis and Crystal Structure of Complex

Diaqua bis(Pyridine-2-Sulfonato N, O) Manganese(II)

XIAO Zijing

(College of Material Science and Engineering, Huaqiao University, Quanzhou 362021, China)

Abstract: Diaqua bis(pyridine-2-sulfonato N, O) Manganese(II) ([Mn(C₅H₄NSO₃)₂•(H₂O)₂], $M_r = 407.28$) has been prepared and structurally characterized. The crystal is of monoclinic, space group C2/c with $a = 1.37175(7)$ nm, $b = 0.72044(4)$ nm, $c = 1.61141(9)$ nm, $\beta = 106.855(1)$ °, $V = 1.5241(1)$ nm³, $Z = 4$, $D_c = 1.775$ g•cm⁻³, $F(000) = 828$, $\mu = 1.183$ mm⁻¹, $R = 0.0227$ and $wR = 0.0603$. The Mn atom in the title compound is six coordinated by two O atoms and two N atoms of two pyridine-2-sulfonate ligands, and two water O atoms, forming a distorted octahedral coordination geometry. The molecule in the title compound has a crystallographic C₂ symmetry. The neighboring molecules in the complex are connected by hydrogen bonds of O-H (coordinated water molecule)...O (uncoordinated sulfonate), obtaining a two-dimensional supramolecular architecture.

Keywords: manganese complex; pyridine-2-sulfonate; crystal structure; hydrogen bond

(责任编辑: 黄仲一)